

ХИМИЧЕСКАЯ ТЕХНОЛОГИЯ

УДК (542.46.42+542.921.6):546.742'175:546.881.5'39

И.Я. Петров, Б.Г. Трясунов, О.В. Золотарев, А.Г. Бяков

ФОРМИРОВАНИЕ СТРУКТУРЫ И ФАЗОВОГО СОСТАВА NiO-V₂O₅-КАТАЛИЗАТОРОВ, СИНТЕЗИРОВАННЫХ НА ОСНОВЕ МЕТАВАНАДАТА АММОНИЯ И ГЕКСАГИДРАТА НИТРАТА НИКЕЛЯ (II)

NiO-V₂O₅-содержащие системы хорошо известны как эффективные катализаторы селективного восстановления оксидов азота [1], гидрирования CO [2], реформинга метана с помощью CO₂ [3], гидропереработки фракций сырого бензола [4], парциального окисления спиртов [5] и окислительного дегидрирования углеводородов [6-8]. Ранее [9-12] нами было показано, что эти системы проявляют также высокую активность в процессах неокислительного дегидрирования алкилароматических углеводородов (этилбензола, этилтолуолов), причем дегидрирующие свойства указанных систем связана в основном с состоянием ионов ванадия, активность которых возрастает в присутствии ионов никеля.

Согласно [13-15], при термообработке на воздухе смесей исходных оксидов никеля (II) и ванадия (V), в зависимости от состава композиций, возможно образование трех соединений: NiV₂O₆, NiV₂O₇ и Ni₃V₂O₈ (соответственно мета-, пиро- и ортovanадатов никеля). Причем установлено [16], что в ходе спекания смесей V₂O₅ и NiO формирование структуры ортovanадата никеля (Ni₃V₂O₈) протекает через последовательное образование метаванадата никеля (NiV₂O₆) и пированадата никеля (Ni₂V₂O₇). Малиньски и сотр. [5] показали, что при прокаливании в интервале температур 600-700°C никельванадиевого катализатора состава V/Ni = 1, синтезированного на основе V₂O₅ и Ni(NO₃)₂·6H₂O, образуется сравнительно плохо окристаллизованная фаза, в составе которой были идентифицированы Ni₂V₂O₇ и в меньших количествах – Ni(VO₃)₂ и Ni₃(VO₄)₂. С помощью рентгенофазового анализа чешские исследователи [17,18] в NiO-V₂O₅-образцах, полученных на основе метаванадата аммония и гексагидрата нитрата никеля (II) и прокаленных на воздухе при 400°C (4 ч), обнаружили только смесь фаз NiO и V₂O₅. В аналогичных системах, подвергнутых термообработке на воздухе при 500°C (6 ч), нами [12], помимо фаз оксидов никеля (II) и ванадия (V), были идентифицированы фазы метаванадата и пированадата никеля (II). В то же время китайские авторы [8] в близких по составу катализаторах (но прокаленных при 600°C в течение 6 ч) зафиксировали образование ортovanадата никеля (II). При

этом данные о формировании структуры и фазового состава бинарных NiO-V₂O₅-образцов, приготовленных на основе NH₄VO₃ и Ni(NO₃)₂·6H₂O, – т.е. солей, которые часто используются при синтезе нанесенных NiO-V₂O₅-содержащих катализаторов методом пропитки [1-4,8-12], – в литературе практически отсутствуют.

В настоящей работе нами была предпринята попытка изучения генезиса структуры и фазового состава NiO-V₂O₅-катализаторов, полученных на базе метаванадата аммония и гексагидрата нитрата никеля (II), с помощью методов термического анализа, РФА и ИК-спектроскопии.

ЭКСПЕРИМЕНТАЛЬНАЯ ЧАСТЬ

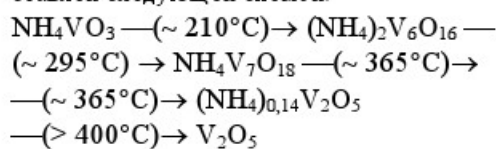
Бинарные оксидные никельванадиевые катализаторы готовились смешением в различных соотношениях водных растворов солей соответствующих металлов – гексагидрата нитрата никеля Ni(NO₃)₂·6 H₂O и метаванадата аммония NH₄VO₃ – с последующими сушкой (120°C, 4 ч) и прокаливанием (500°C, 6 ч) на воздухе выпаренных осадков. Кроме того, с целью изучения формирования фазового состава и структуры NiO-V₂O₅-катализаторов в ходе их термообработки, высушенные при 120°C никельванадиевые образцы с мольными отношениями NiO:V₂O₅= 100:0, 75:25, 40:60, 20:80 и 0:100 прокаливали также в течение 4 ч при температурах 180, 300 и 700°C, а образец состава NiO:V₂O₅ = 75:25 – при температурах 220, 400, 500 и 700°C в течение 3 ч.

Дериватограммы высушенных при 120°C прекурсоров NiO-V₂O₅-катализаторов с различными соотношениями NiO:V₂O₅ были получены на дериватографе Q-1500D (MOM, Венгрия) в интервале температур 20-800°C (линейная скорость нагрева – 10°C/мин; навеска образца – 0,4-0,7 г; в качестве эталона сравнения использовался прокаленный при 1200°C α-Al₂O₃). Рентгенофазовый анализ (РФА) образцов катализаторов проводился на дифрактометре HZG-4,0 (Германия). Рентгенограммы были получены порошковым методом с использованием отфильтрованного CuK_α-излучения (Ni-фильтр); ускоряющее напряжение составляло 30-35 кВ; ток на трубке – 10-20 мА.

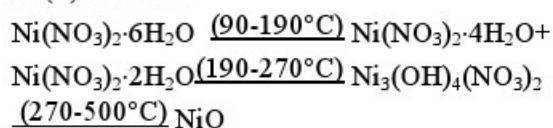
При проведении фазового анализа полученные из дифрактограмм значения межплоскостных расстояний (d) и интенсивностей рентгеновских рефлексов (I/I_0) сопоставлялись с известными табличными данными (американская картотека ASTM [19]). ИК-спектры поглощения катализаторов записывались на ИК-спектрометре Specord 75 IR (Carl Zeiß Jena, Германия) в диапазоне 400–4000 cm^{-1} , при этом исследуемые образцы готовились в виде таблеток с КBr.

РЕЗУЛЬТАТЫ ИХ ОБСУЖДЕНИЕ

Данные термического анализа. Дериватограммы высушенных при 120°C Ni-V-содержащих осадков, полученных после выпаривания растворов, приведены на рис. 1. На дериватограмме прекурсора образца состава $\text{NiO}:V_2\text{O}_5 = 0:100$, которая практически ничем не отличалась от дериватограммы исходной соли метаванадата аммония, наблюдались 2 эндотермических эффекта при 200–225°C (экстремум при 210°C) и 290–320°C (экстремум при 295°C) и 2 экзоэффекта при 360–385 (экстремум при 365°C) и 400–430°C (экстремум при 210°C) (все перечисленные эффекты сопровождались потерей массы). Ранее [20] при сопоставлении этих данных с результатами структурных исследований (РФА и ИК-спектроскопия) образующихся промежуточных продуктов нами было показано, что процесс разложения NH_4VO_3 на воздухе завершается при температурах выше 400°C формированием ромбической фазы V_2O_5 и может быть представлен следующей схемой:



Дериватограмма прекурсора образца состава $\text{NiO}:V_2\text{O}_5 = 100:0$ (рис. 1) также практически ничем не отличалась от дериватограммы исходной соли никеля $[\text{Ni}(\text{NO}_3)_2 \cdot 6 \text{H}_2\text{O}]$ и характеризовалась 4-мя основными эндотермическими эффектами с экстремумами при 50–55, 160, 250 и 305°C (первый эффект – с очень небольшой потерей массы, остальные – с заметной потерей массы). Как было показано нами в работе [21], первый эндотерм обусловлен плавлением $\text{Ni}(\text{NO}_3)_2 \cdot 6 \text{H}_2\text{O}$, сопровождающимся его частичным разложением, а остальные эндотермические эффекты связаны с процессами термического разложения гексагидрата нитрата никеля (II) по схеме:



Практически все термические эффекты, наблюдавшиеся при разложении исходных солей ванадия (V) и никеля (II), проявляются также и на дериватограммах прекурсоров смешанных $\text{NiO}-V_2\text{O}_5$ -образцов, соответственно обогащенных ок-

сидом никеля (II) (> 75 мол.% NiO) или V_2O_5 (< 30 –40 мол.% NiO). Однако интенсивность термических эффектов, обусловленных разложением исходных солей, при концентрациях NiO в интервале 30–75 мол.% сравнительно низкая, вместе с тем на дериватограммах этих образцов проявляется довольно интенсивный экзоэффект в области $\sim 260^\circ\text{C}$ с потерей массы, который может быть связан с разложением нитрата аммония, образующегося при взаимодействии исходных солей никеля и ванадия (рис. 1). Как известно [22], NH_4NO_3 разлагается на воздухе при $T \sim 250^\circ\text{C}$ (преимущественно до N_2O и воды) с большим выделением тепла. Присутствие заметных количеств NH_4NO_3 в составе высушенных $\text{NiO}-V_2\text{O}_5$ -образцов подтверждается также и данными рентгенофазового анализа (табл. 1); причем после промывки высушенных Ni-V-содержащих осадков водой интенсивность рефлексов NH_4NO_3 на их рентгенограммах значительно снижалась.

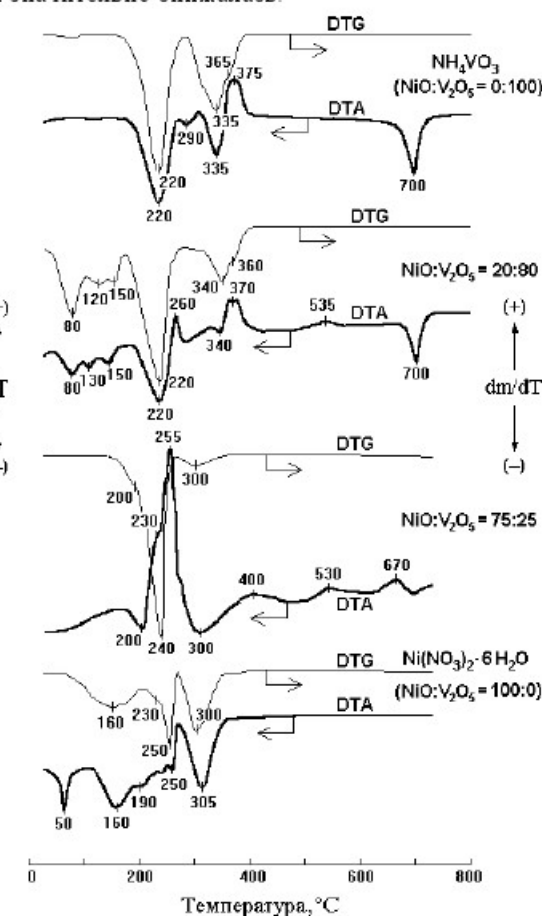


Рис. 1. Дериватограммы высушенных при 120°C (4 ч) прекурсоров бинарных $\text{NiO}-V_2\text{O}_5$ -композиций.

Несколько экзоэффектов без потери массы в интервале 400–700°C на дериватограммах высушенных прекурсоров $\text{NiO}-V_2\text{O}_5$ -катализаторов (с максимумами при ~ 400 , ~ 530 и $\sim 670^\circ\text{C}$) (см. рис. 1), с учетом литературных данных [16], а также приведенных ниже результатов рентгенофазового и ИК-спектроскопического анализов, возможно,

следует отнести к образованию и/или кристаллизации различных ванадатов никеля. Как и в случае чистых солей ванадия (V) и никеля (II), термические эффекты, наблюдавшиеся на дифференциальных термограммах высушенных прекурсоров $\text{NiO}\text{-}\text{V}_2\text{O}_5$ -образцов, были необратимы и при повторной записи термограмм не проявлялись.

Фазовый состав продуктов, образующихся в ходе термообработки при различных температурах (120, 180, 300, 500 и 700°C) осадков, полученных при смешении и выпаривании растворов метаванадата аммония и нитрата никеля (II), представлен в табл. 1. Необходимо учитывать, что в данной таблице представлены только кристаллические фазы, присутствующие в исследуемых образцах и идентифицированные с помощью РФА, которые не дают полной картины фазового и химического состава исследуемых систем (включающих также и аморфные фазы). Однако некоторые дополнительные сведения об их структуре (и структуре содержащихся в их составе аморфных фаз) могут быть получены при изучении ИК-спектров и/или результатов термического анализа исследуемых образцов.

Образцы, подвергнутые термообработке при 120°C. Как было отмечено выше, одним из продуктов, присутствующих в этих осадках, является нитрат аммония (что, в принципе, можно было ожидать и заранее, исходя из состава выбранных исходных солей). NH_4NO_3 , согласно данным рентгенофазового анализа (табл. 1), содержится практически во всех образцах, термообработанных при 120°C, за исключением прекурсоров катализаторов состава $\text{NiO}\text{:}\text{V}_2\text{O}_5 = 100:0$ и $\text{NiO}\text{:}\text{V}_2\text{O}_5 = 0:100$; фазовый состав последних представлен соответственно кристаллическими фазами гексагидрата нитрата никеля (II) и смесью кристаллических фаз $\text{NH}_4\text{VO}_3\cdot\text{H}_2\text{O}$ и NH_4VO_3 . Высушенные

при 120°C на воздухе прекурсоры $\text{NiO}\text{-}\text{V}_2\text{O}_5$ -катализаторов промежуточного состава, помимо нитрата аммония, содержат кристаллические фазы безводного и одноводного метаванадата аммония (при концентрациях $\text{NiO} < 40$ мол.%), тетрагидрата нитрата никеля (II) (при концентрациях $\text{NiO} \geq 75$ мол.%), а также смесь $\text{Ni}_3(\text{NO}_3)_2(\text{OH})_4$ и $(\text{NH}_4)_2\text{V}_{12}\text{O}_{29}$ (при концентрации $\text{NiO} \sim 40$ мол.%). Прекурсоры катализаторов с 40–75 мол.% NiO довольно аморфны, и могут содержать в своем составе и другие соединения, не указанные в табл. 1.

Наиболее характерные области поглощения в ИК-спектре NH_4VO_3 обусловлены валентными (3189, 2923, 2792 cm^{-1}) и деформационными (1416 cm^{-1}) колебаниями ионов NH_4^+ , а также валентными колебаниями терминальных и мостиковых V-O-связей ванадийкислородного каркаса (912, 667 и 498 cm^{-1}) [23, 24]. ИК-спектр образца состава $\text{NiO}\text{:}\text{V}_2\text{O}_5 = 0:100$ после термообработки при 120°C (рис. 2) содержит характерные для NH_4VO_3 полосы поглощения при 3190, 2920, 2800, 1400, 915, 675 и 490 cm^{-1} , а также ряд полос – при 3500 и 1640 cm^{-1} (валентные и деформационные колебания H_2O), при 2995 и 2950 cm^{-1} (валентные колебания иона NH_4^+) и при 880, 835, 730, 540 и 450 cm^{-1} (колебания ванадийкислородных связей), – которые, с учетом данных РФА, могут быть обусловлены присутствием фазы $\text{NH}_4\text{VO}_3\cdot\text{H}_2\text{O}$ (см. табл. 1). Кроме того, имеющиеся в этом спектре двух небольших характерных полос при 990 и 965 cm^{-1} , по-видимому, обусловлено присутствием в исследуемом материале небольших примесей структур типа гексаванадата аммония (см. ниже раздел **Образцы, подвергнутые термообработке при 180°C**).

В ИК-спектре прекурсора образца состава $\text{NiO}\text{:}\text{V}_2\text{O}_5 = 100:0$ (рис. 2), как и в спектре

Таблица 1. Фазовый состав образцов бинарных $\text{NiO}\text{-}\text{V}_2\text{O}_5$ -катализаторов, прокаленных при различных температурах

Химический состав (мол.%)		Фазовый состав катализаторов ^a				
		Temperatura prokaliwaniya ^b (°C)				
NiO	V ₂ O ₅	120	180	300	500	700
0	100	NH_4VO_3 ; $\text{NH}_4\text{VO}_3\cdot\text{H}_2\text{O}$	$(\text{NH}_4)_2\text{V}_6\text{O}_{16}\cdot\text{H}_2\text{O}$	V_2O_5	V_2O_5	V_2O_5
20	80	NH_4VO_3 ; $\text{NH}_4\text{VO}_3\cdot\text{H}_2\text{O}$; NH_4NO_3	$(\text{NH}_4)_2\text{V}_6\text{O}_{16}\cdot\text{H}_2\text{O}$	V_2O_5 ; $\text{Ni}(\text{VO}_3)_2$	V_2O_5	V_2O_5
40	60	NH_4NO_3 ; $\text{Ni}_3(\text{NO}_3)_2(\text{OH})_4$ $(\text{NH}_4)_2\text{V}_{12}\text{O}_{29}$	$(\text{NH}_4)_2\text{V}_6\text{O}_{16}\cdot\text{H}_2\text{O}$	$\text{Ni}(\text{VO}_3)_2$; V_2O_5	V_2O_5 ; $\text{Ni}(\text{VO}_3)_2$ $\text{Ni}_2\text{V}_2\text{O}_7$	V_2O_5 ; $\text{Ni}_2\text{V}_2\text{O}_7$ $\text{Ni}(\text{VO}_3)_2$
75	25	$\text{Ni}(\text{NO}_3)_2\cdot 4\text{H}_2\text{O}$; NH_4NO_3	Рентгеноаморфный	NiO	$\text{Ni}_2\text{V}_2\text{O}_7$; NiO	$\text{Ni}_3(\text{VO}_4)_2$
90	10	$\text{Ni}(\text{NO}_3)_2\cdot 4\text{H}_2\text{O}$; NH_4NO_3 (следы)	Рентгеноаморфный	NiO	NiO	не опр.
100	0	$\text{Ni}(\text{NO}_3)_2\cdot 6\text{H}_2\text{O}$	$\text{Ni}_3(\text{OH})_4(\text{NO}_3)_2$	NiO	NiO	NiO

^a Фазы расположены в порядке снижения интенсивности их наиболее сильных рефлексов.

^b При $T = 500^\circ\text{C}$ время прокаливания – 6 ч, при остальных температурах время прокаливания – 4 ч.

$\text{Ni}(\text{NO}_3)_2 \cdot 6\text{H}_2\text{O}$, наиболее характерными являются полосы поглощения в области 3200-3600 и $\sim 1610 \text{ cm}^{-1}$, обусловленные соответственно валентными ($\nu_{\text{O-H}}$) и деформационными колебаниями ($\delta_{\text{H-O-H}}$) кристаллогидратной воды, а также полосы, связанные с антисимметричными и симметричными колебаниями нитратных групп в области $\sim 1380 \text{ cm}^{-1} (\nu_3)$ и $\sim 1020 \text{ cm}^{-1} (\nu_1)$; поглощение в диапазонах 650-850 и 450-550 cm^{-1} , по-видимому, обусловлено деформационными колебаниями нитратных групп (ν_2 и ν_4), а также крутильными, веерными и маятниковыми (ρ_t , ρ_w и ρ_c) колебаниями молекул воды [25-27]. С увеличением содержания

никеля в ИК-спектрах прекурсоров $\text{NiO}:V_2\text{O}_5$ -образцов растет интенсивность полос поглощения воды (3200-3600 и 1600-1640 cm^{-1}) и нитратных групп (1450-1470, 1380 и 800-825 cm^{-1}); кроме того, в образцах с 40 и 75 мол.% NiO проявляются также полосы при 1515-1530 и $\sim 1320 \text{ cm}^{-1}$, которые можно отнести к поглощению нитратных групп в основном нитрате никеля [21]. С другой стороны, при увеличении концентрации никеля полосы, связанные с поглощением V=O и V-O-V -связей ванадийкислородного каркаса в NH_4VO_3 -подобных структурах (915-925, 880-885, 675-690, 535-540 и 490 cm^{-1}), постепенно исчезают; но при этом появляется ряд полос (950-990, 580-610 cm^{-1}),

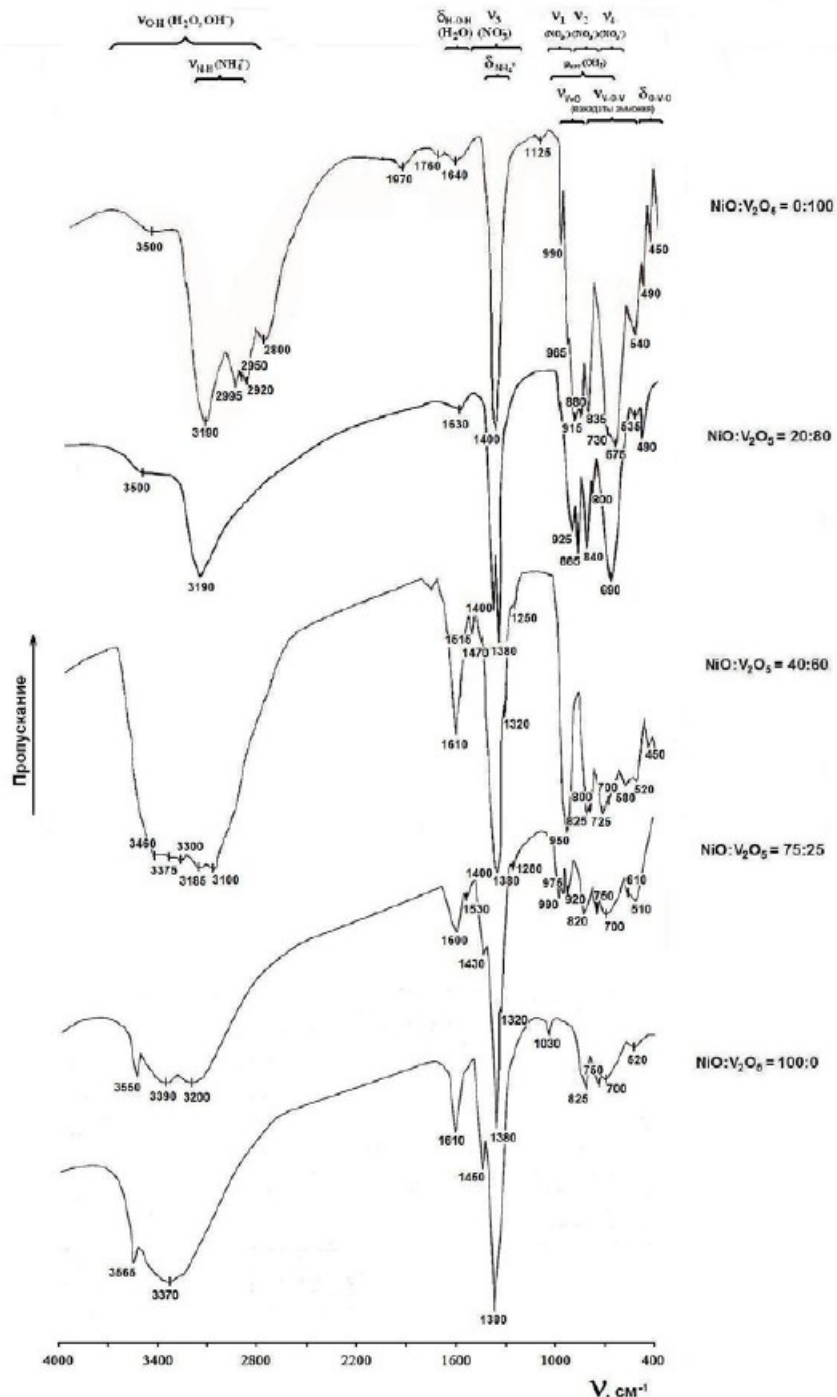


Рис. 2. ИК-спектры никельванадиевых образцов, высушенных на воздухе при 120°C (4 ч).

которые, с учетом данных РФА, могут принадлежать поливанадатным структурам типа $(\text{NH}_4)_2\text{V}_{12}\text{O}_{29}$ (валентные колебания $\text{V}=\text{O}$ и $\text{V}-\text{O}-\text{V}$), а также структуре основного нитрата никеля (II), $\text{Ni}_3(\text{NO}_3)_2(\text{OH})_4$ (деформационные колебания $\text{Ni}-\text{O}-\text{H}$ [27]).

Образцы, подвергнутые термообработке при 180°C. Вследствие разложения нитрата аммония в ходе его прокаливания на воздухе [22], рефлексы от фазы NH_4NO_3 на рентгенограммах Ni-V-

содержащих осадков полностью исчезают уже после термообработки образцов при 180°C (в течение 4 ч). Как показывает анализ рентгеновских данных, представленных в табл. 1, термический распад Ni-V-содержащих осадков с относительно невысокими концентрациями никеля (≤ 50 мол.% NiO) протекает через образование при $\sim 180^\circ\text{C}$ промежуточного соединения с кристаллической структурой типа одноводного гексаванадата аммония $(\text{NH}_4)_2\text{V}_6\text{O}_{16}\text{H}_2\text{O}$; сигналы данной фазы на-

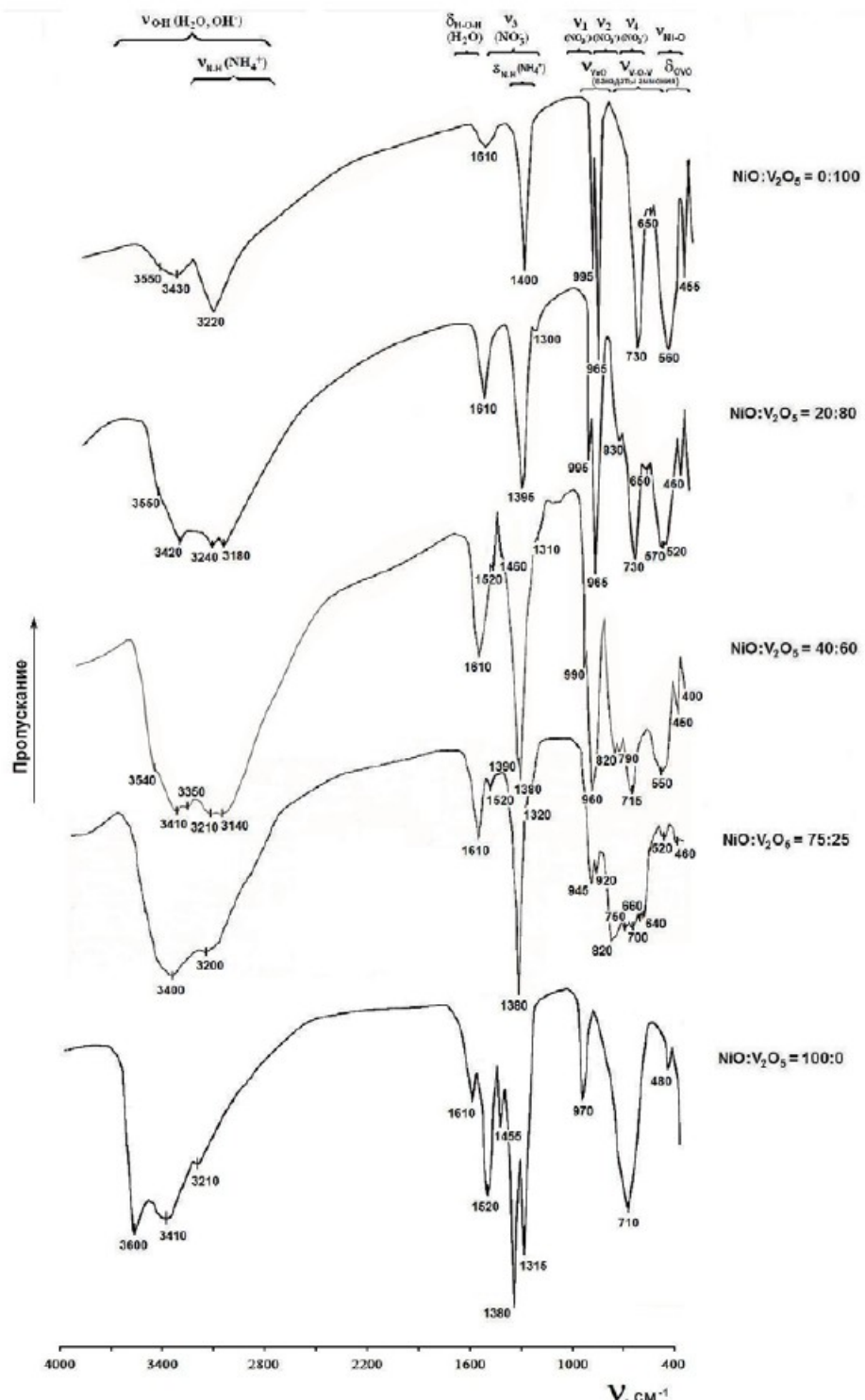


Рис. 3. ИК-спектры никельванадиевых образцов, прокаленных на воздухе при 180 °C (4 ч).

блюдаются вплоть до ~40 мол.% NiO.

Образование структур типа гексаванадата аммония в образцах, содержащих ≤ 40 мол.% NiO и прокаленных при 180°C, подтверждается также результатами ИК-спектроскопических исследований. Для ИК-спектра гексаванадата (или триванадата) аммония весьма характерна дублетная полоса поглощения с максимумами при 1010 и 972 см⁻¹

в области валентных колебаний ванадильных (V=O) связей [28], по которой обычно и производится идентификация $(\text{NH}_4)_2\text{V}_2\text{O}_{16}$ [28-30]. Помимо указанного дублета, в спектре $(\text{NH}_4)_2\text{V}_2\text{O}_{16}$ имеются также полосы поглощения в области 3200-3220 и 1400 см⁻¹ (валентные и деформационные колебания иона аммония) и ряд полос в диапазоне 400-900 см⁻¹, обусловленных колеба-

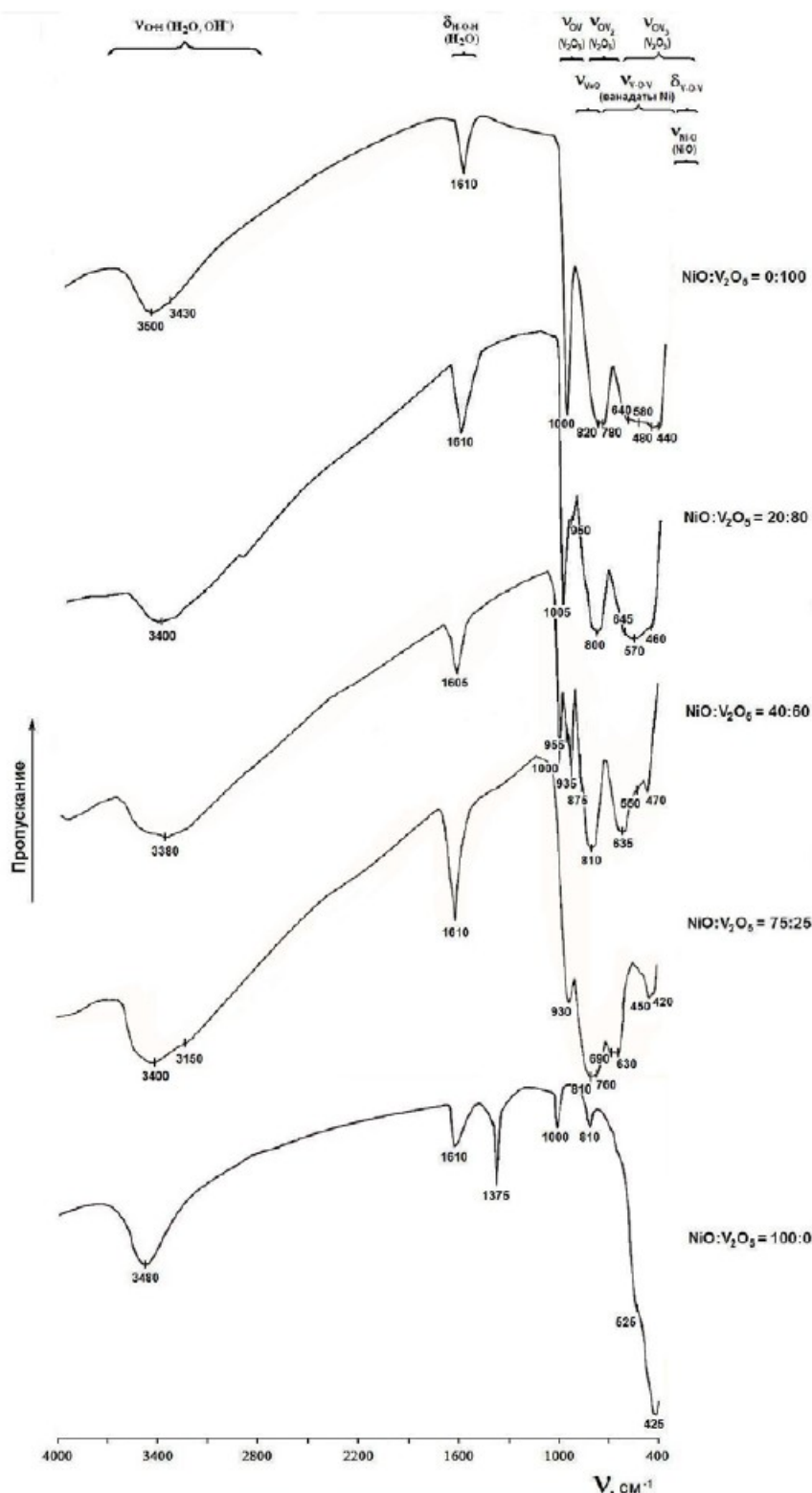


Рис. 4. ИК-спектры никельванадиевых образцов, прокаленных на воздухе при 300 °C (4 ч).

ниями мостиковых ванадийкислородных связей [28-31]. В ИК-спектре образца состава $\text{NiO}:\text{V}_2\text{O}_5 = 0:100$, прокаленного при 180°C (рис. 3), наблюдается характерный дублет с максимумами при 995 и 965 cm^{-1} , который может быть отнесен к поглощению ванадильных связей в структуре гексаванадат-иона.

Кроме того, в этом спектре присутствуют линии, характерные для мостиковых V-O-V-связей (730 , 650 , 560 и 455 cm^{-1}), полосы, связанные с поглощением иона NH_4^+ (3220 и 1400 cm^{-1}). Но имеются также и полосы поглощения воды (3400 - 3600 и 1610 cm^{-1}), что согласуется с данными РФА о наличии в составе исследуемого продукта гидратированной формы гексаванадата аммония $(\text{NH}_4)_2\text{V}_2\text{O}_{16}\cdot\text{H}_2\text{O}$ (табл. 1).

Причем полосы поглощения гидратированного гексаванадата аммония, как и соответствующие ему рефлексы на рентгенограммах, сохраняются в образцах, прокаленных при 180°C , по крайней мере, до 40 мол. % NiO (табл. 1 и рис. 3).

Образцы с более высокими содержаниями никеля, прокаленные при той же температуре, рентгеноаморфны, за исключением прекурсора катализатора состава $\text{NiO}:\text{V}_2\text{O}_5 = 100:0$, на рентгенограмме которого наблюдались относительно слабые сигналы фазы $\text{Ni}_3(\text{NO}_3)_2(\text{OH})_4$. В ИК-спектрах обогащенных никелем образцов усиливается интенсивность полос поглощения OH -групп (3200 - 3600 cm^{-1}) и добавляется ряд линий (~ 1520 , ~ 1460 , 1380 , 1310 - 1320 , ~ 820 , 700 - 715 и 640 - 660 cm^{-1}), характерных для поглощения NO_3^- -ионов в гидратированных нитратах никеля (II) и основном нитрате никеля (II) [21,23-25].

Образцы, подвергнутые термообработке при 300°C . Согласно результатам рентгенофазового анализа (табл. 1), Ni-V-содержащие осадки, прокаленные при температуре 300°C , содержат только фазы оксидов составляющих металлов (т.е. NiO и V_2O_5) и $\text{Ni}(\text{VO}_3)_2$ (в случае образца с 40 мол. % NiO). Причем среди кристаллических фаз при концентрациях $\text{NiO} < 40$ мол. % преобладающей фазой является V_2O_5 , а при концентрациях $\text{NiO} > 40$ мол. % – NiO . Для образца с 40 мол. % NiO превалирующей является кристаллическая фаза $\text{Ni}(\text{VO}_3)_2$ (метаванадат никеля).

ИК-спектры образцов, прокаленных при 300°C (рис. 4), не содержат полос поглощения ионов аммония. В них также отсутствуют полосы поглощения нитратных групп (за исключением прекурсора катализатора состава $\text{NiO}:\text{V}_2\text{O}_5 = 100:0$, в котором сохраняются полосы поглощения NO_3^- -групп при 1375 , 1000 и 810 cm^{-1}); однако линии спектра воды (3200 - 3600 и 1610 cm^{-1}) проявляются для всех исследованных составов. В спектрах прекурсоров катализаторов с 75 и 100 мол. % NiO (рис. 4), помимо линий нитратных групп и воды, фиксируются довольно интенсивные полосы поглощения (при 420 - 425 и 525 cm^{-1}), характерные для оксида никеля (II) [35]; эта фаза обнаруживается в данных образцах и рентгенографически (табл. 1).

По литературным данным [32-34], для V_2O_5 в ИК-спектре характерны три основные полосы поглощения: 996 - 1020 ($\nu_{\text{ом}}$), 806 - 830 ($\nu_{\text{ом}_2}$) и широкая полоса в интервале 440 - 660 cm^{-1} ($\nu_{\text{ом}_3}$). Наличие соответствующих полос (1000 - 1005 , 800 - 820 и 440 - 650 cm^{-1}) в ИК-спектрах исследуемых образцов четко прослеживается вплоть до 40 мол. % NiO (рис. 4). Но, в дополнение к ним, в образцах с 20 и 40 мол. % NiO наблюдается также поглощение при 950 - 955 cm^{-1} , которое присуще симметричным валентным колебаниям OVO-групп (ν_s (OVO)) в метаванадатах двухвалентных металлов [36], а в образце с 40 мол. % NiO имеется еще и пик поглощения при 935 cm^{-1} , связанный с валентными колебаниями V-O-связей (ν_s (VO₃)) в пиреванадатах двухвалентных металлов [36]. Наличие фазы $\text{Ni}(\text{VO}_3)_2$ (метаванадата никеля) в составе образцов с 20 и 40 мол. % NiO и фазы $\text{Ni}_2\text{V}_2\text{O}_7$ (пиреванадата никеля) в составе образца с 40 мол. % NiO подтверждается данными РФА (табл. 1).

Образец с 75 мол. % NiO был довольно аморфным (на его рентгенограмме проявлялись лишь широкие рефлексы от NiO). В то же время характеристические линии поглощения V_2O_5 и $\text{Ni}(\text{VO}_3)_2$ (1000 - 1005 и 950 - 955 cm^{-1}) в его ИК-спектре отсутствовали (рис. 4), но проявлялся ряд пиков, которые совпадают с набором полос, присущих структуре пиреванадата никеля (930 - 940 , 810 , 760 , 690 , 630 и $\sim 450 \text{ cm}^{-1}$) [36].

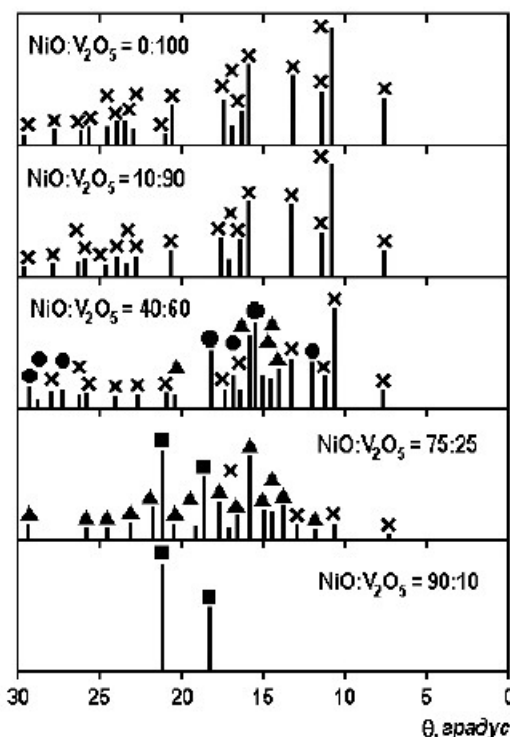


Рис. 5. Штрих-диаграммы бинарных $\text{NiO}-\text{V}_2\text{O}_5$ -катализаторов, прокаленных при 500°C в течение 6 ч: \times – V_2O_5 ; \bullet – $\text{Ni}(\text{VO}_3)_2$; \blacktriangle – $\text{Ni}_2\text{V}_2\text{O}_7$; \blacksquare – NiO .

Образцы, подвергнутые термообработке при 500 и 700°C. Фазовый состав бинарных NiO-V₂O₅-катализаторов, прокаленных при 500°C, представлен как фазами оксидов соответствующих металлов NiO и V₂O₅ (при содержаниях NiO ≥

90 мол.% и ≤ 20 мол.%, соответственно), так и фазами мета- и пиро vanадатов никеля (~ 40–75 мол.% NiO) (рис. 5 и табл. 1). Наличие взаимодействия между составляющими оксидами в системе NiO-V₂O₅ подтверждается также немонотонным

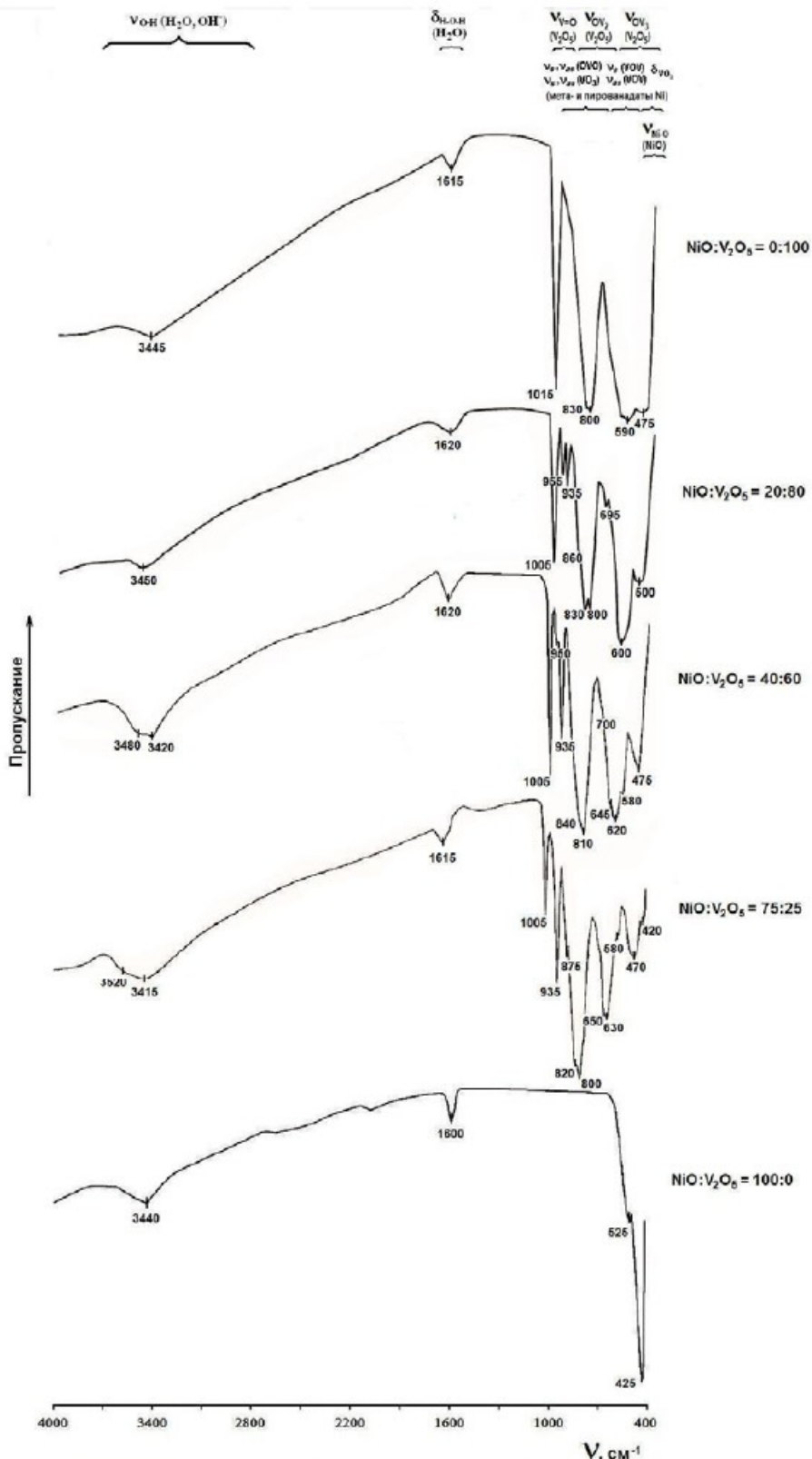


Рис. 6. ИК-спектры никельванадиевых образцов, прокаленных на воздухе при 500 °C (6 ч).

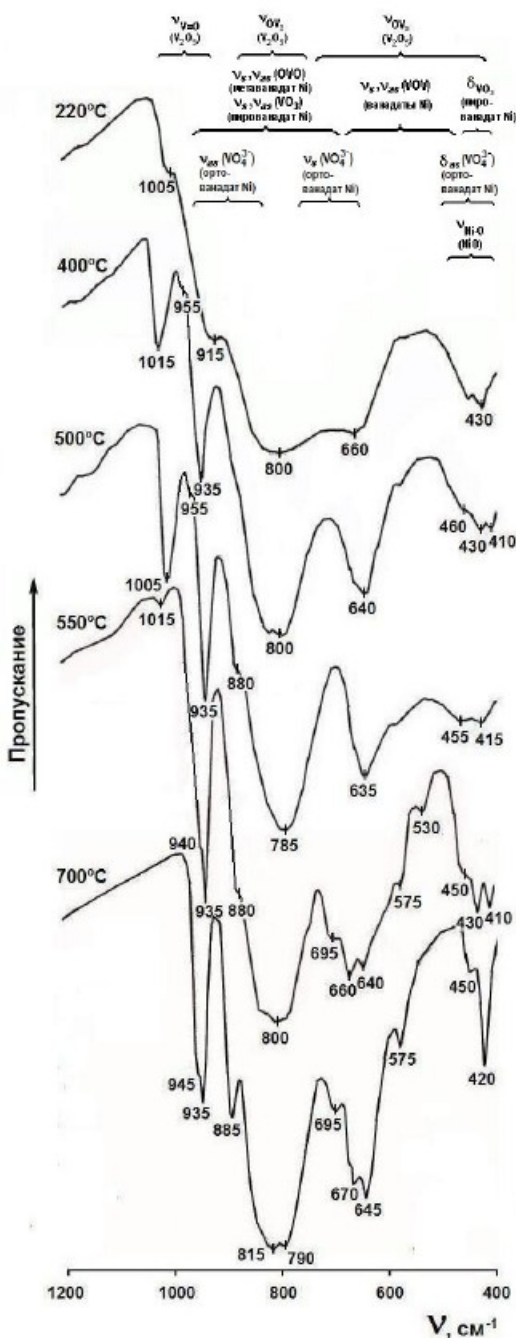


Рис. 7. ИК-спектры никельванадиевого образца состава $\text{NiO}:\text{V}_2\text{O}_5 = 75:25$, прокаленного при различных температурах в течение 3 ч.

характером зависимости удельной поверхности никельванадиевых образцов от их состава, которая проходит через максимум при ~ 75 мол.% NiO [21]. Экстремальный характер зависимости удельной поверхности $\text{NiO}\text{-V}_2\text{O}_5$ образцов от состава отмечался также в работах [17, 18].

Данные рентгенофазового анализа прокаленных при 500°C $\text{NiO}\text{-V}_2\text{O}_5$ -катализаторов, полученные в нашей работе, в целом согласуются с результатами других авторов. Рентгенограммы $\text{NiO}\text{-V}_2\text{O}_5$ образцов с содержанием $\text{NiO} \leq 20$ мол.% практически не отличались от рентгенограммы V_2O_5 (т.е. в данном интервале составов преобладала структура исходного пентоксида ванадия).

Хотя новых фаз и заметного изменения параметров орторомбической решетки V_2O_5 ¹ при введении небольших количеств NiO (< 20 мол.%) не наблюдалось ($a = 11,471\text{-}11,516 \text{\AA}$; $b = 4,360\text{-}4,373 \text{\AA}$; $c = 3,565\text{-}3,567 \text{\AA}$), ряд других данных указывает на наличие взаимодействия между оксидами никеля (II) и ванадия (V) в рассматриваемом концентрационном интервале со-

¹ Кристаллическая решетка пентоксида ванадия имеет орторомбическую симметрию с пространственной группой $D_{2h}\text{-P}_{mmn}$ и параметрами элементарной ячейки: $a = 11,51 \text{\AA}$; $b = 4,37 \text{\AA}$ и $c = 3,56 \text{\AA}$ [37].

ставов $\text{NiO}\text{-}\text{V}_2\text{O}_5$ образцов:

- с ростом содержания NiO от 0 до 20 мол.% в ИК-спектрах $\text{NiO}\text{-}\text{V}_2\text{O}_5$ образцов (рис. 6) наблюдается смещение полосы поглощения V=O групп в сторону меньших частот: от 1015 cm^{-1} для исходного V_2O_5 до 1005 cm^{-1} для образца состава $\text{NiO}\text{-}\text{V}_2\text{O}_5=20\text{:}80$; при этом усиливается поглощение в области $520\text{-}580 \text{ cm}^{-1}$ (валентные колебания мостиковых V-O-V групп [32-34]) и появляется небольшая полоса при $\sim 955 \text{ cm}^{-1}$, возможно, обусловленная симметричными колебаниями OVO -групп в метаванадате никеля (II) [36], который не обнаруживался рентгенографически вследствие низкого содержания и/или высокой дисперсности частиц данной фазы;
- с повышением содержания NiO возрастает дисперсность $\text{NiO}\text{-}\text{V}_2\text{O}_5$ -образцов, что отражается на увеличении их удельной поверхности [21];
- кроме того, в интервале 0-20 мол.% NiO возрастает катализическая активность $\text{NiO}\text{-}\text{V}_2\text{O}_5$ -образцов в реакции дегидрирования этилбензола в стирол ($T = 600^\circ\text{C}$, $\tau_k = 1 \text{ с}$) [21]; причем наблюдаемое улучшение дегидрирующих свойств рассматриваемых катализаторов нельзя объяснить просто образованием дополнительных фаз NiO или метаванадата никеля, не фиксируемых рентгенографически (вследствие их высокой дисперсности и/или низкого содержания); данные соединения, как показали эксперименты [21], не обладали заметной дегидрирующей активностью при выбранных условиях проведения реакции.

Примечательно, что ранее Мучка [17], исследуя ЭПР-спектры аналогичным образом приготовленных (но прокаленных при 400°C) $\text{NiO}\text{-}\text{V}_2\text{O}_5$ образцов, обнаружил, что при добавлении к V_2O_5 до 20 мол.% NiO интенсивность сигналов от ионов V^{4+} быстро снижается до определенного значения, тогда как при дальнейшем увеличении содержания никеля вплоть до 80 мол.% NiO их интенсивность практически не меняется. Это согласуется с теорией полупроводников о снижении концентрации ионов V^{4+} при введении примесных ионов Ni^{2+} , чья степень окисления ниже степени окисления большинства ионов, составляющих оксид (т.е. ионов V^{5+}). Приведенные выше данные свидетельствуют о наличии определенного рода взаимодействия между ионами никеля и ванадия в бинарных $\text{NiO}\text{-}\text{V}_2\text{O}_5$ -катализаторах в интервале содержаний NiO от 0 до 20 мол.%, несмотря на то, что фазовый состав этих образцов в указанной области концентраций никеля представлен только фазой

V_2O_5 . Взаимодействие NiO с V_2O_5 в этом случае может проявляться как во внедрении ионов Ni^{2+} в структуру оксида ванадия (V) с образованием твердых растворов NiO в V_2O_5 (возможно, ванадиевых бронз типа α, мало отличающихся по структуре от исходного V_2O_5 [38]), так и в поверхностном “контактном электронном обмене” между частицами V_2O_5 и покрывающими их высокодисперсными соединениями никеля (II) [17].

При содержаниях $\text{NiO} > 20 \text{ мол. \%}$ в ИК-спектрах прокаленных при 500°C $\text{NiO}\text{-}\text{V}_2\text{O}_5$ образцов (рис. 5) отмечалось постепенное ослабление интенсивности полосы поглощения при $1000\text{-}1020 \text{ cm}^{-1}$ (валентные колебания V=O групп в V_2O_5 [32-35]), связанное с уменьшением доли пентоксида ванадия в исследуемых катализаторах, и постепенное увеличение интенсивности полосы поглощения при $\sim 935 \text{ cm}^{-1}$, которую можно отнести к симметричным валентным колебаниям терминальных V=O групп ($\nu_s(\text{VO}_3)$) в структуре пирванадата никеля [36].

Максимальная интенсивность полосы при 935 cm^{-1} наблюдалась в образцах состава $\text{NiO}\text{-}\text{V}_2\text{O}_5=50\text{:}50$ и $75\text{:}25$. Кроме того, в образцах состава $\text{NiO}\text{-}\text{V}_2\text{O}_5=30\text{:}70$ и $40\text{:}60$ проявлялась полоса поглощения с максимумом при $\sim 955 \text{ cm}^{-1}$, которая, согласно [36], характерна для полносимметричных валентных колебаний OVO -групп в ИК-спектрах метаванадатов двухвалентных металлов ($\nu_s(\text{OVO})$), а, учитывая фазовый состав вышеупомянутых образцов (см. рис. 5 и табл. 1), ее вполне можно отнести к соответствующим симметричным колебаниям OVO -групп в метаванадате никеля. В ИК-спектре образца с наивысшим содержанием никеля (100 мол.% NiO) преобладает поглощение в области $400\text{-}500 \text{ cm}^{-1}$ (рис. 6), которое обусловлено валентными колебаниями связей $\text{Ni}-\text{O}$ в оксиде никеля (II) [35], что хорошо согласуется с данными РФА (табл. 1). В ИК-спектрах прокаленных при 500°C $\text{NiO}\text{-}\text{V}_2\text{O}_5$ -образцов (рис. 6) присутствуют также небольшие полосы поглощения от адсорбированной воды ($3400\text{-}3500$ и $1600\text{-}1629 \text{ cm}^{-1}$), интенсивность которых несколько возрастает с повышением содержания никеля симбатно увеличению удельной поверхности исследуемых катализаторов [21].

Необходимо отметить, что в образце состава $\text{NiO}\text{-}\text{V}_2\text{O}_5=75\text{:}25$ (стехиометрический состав орто-ванадата никеля), прокаленном при 500°C , фаза $\text{Ni}_3(\text{VO}_4)_2$ отсутствовала (рис. 5 и табл. 1), хотя образование этого соединения можно было ожи-

Таблица 2. Фазовый состав образца $\text{NiO}\text{-}\text{V}_2\text{O}_5=75\text{:}25$, прокаленного при различных температурах*

Температура ($^\circ\text{C}$)	220	400	500	550	700
Фазы ^b	NiO	NiO $\text{Ni}_2\text{V}_2\text{O}_7$ $\text{Ni}(\text{VO}_3)_2$ V_2O_5	NiO $\text{Ni}_2\text{V}_2\text{O}_7$ $\text{Ni}(\text{VO}_3)_2$ V_2O_5	$\text{Ni}_3(\text{VO}_4)_2$ NiO $\text{Ni}_2\text{V}_2\text{O}_7$	$\text{Ni}_3(\text{VO}_4)_2$

* Время прокаливания – 3 ч.

^b Фазы расположены в порядке уменьшения интенсивности их наиболее сильных рефлексов.

дать для данного соотношения оксидов никеля (II) и ванадия (V) [13-15]. Изучение изменений фазового состава данного образца с увеличением температуры термообработки показало (табл. 2), что кристаллическая структура ортованадата никеля появляется после прокаливания при $T \sim 550^{\circ}\text{C}$ и окончательно формируется лишь при температурах прокаливания $\geq 700^{\circ}\text{C}$. С повышением температуры прокаливания выше 500°C в ИК-спектрах образца $\text{NiO}:\text{V}_2\text{O}_5 = 75:25$ исчезают полосы поглощения (и соответствующие рефлексы на рентгенограммах) от фаз NiO ($410-430 \text{ cm}^{-1}$), V_2O_5 ($1000-1015 \text{ cm}^{-1}$), мета- ($\sim 955 \text{ cm}^{-1}$) и пирорванадатов никеля (II) ($930-935 \text{ cm}^{-1}$) (табл. 2 и рис. 7). При этом в ИК-спектре прокаленного при $T \sim 550^{\circ}\text{C}$ образца (рис. 7) фиксируется ряд полос поглощения (при $940-945$, $880-885$, 670 , 575 и $410-420 \text{ cm}^{-1}$), которые, с учетом данных РФА и литературных данных [36], очевидно, следует отнести к структуре $\text{Ni}_3(\text{VO}_4)_2$; с ростом температуры прокаливания интенсивность этих сигналов только возрастает. Из анализа фазового состава образца с $\text{NiO}:\text{V}_2\text{O}_5 = 75:25$, прокаленного при различных температурах в течение 3 ч (табл. 2), можно сделать вывод, что кристаллической структуре $\text{Ni}_3(\text{VO}_4)_2$ предшествует ряд промежуточных фаз: рентгеноаморфные соединения ванадия ($T \leq 220^{\circ}\text{C}$), фаза NiO ($220^{\circ}\text{C} \leq T < 700^{\circ}\text{C}$), метаванадат ($400^{\circ}\text{C} \leq T \leq 500^{\circ}\text{C}$) и пирорванадат ($400^{\circ}\text{C} \leq T \leq$

550°C) никеля. Примечательно, что образец состоящий $\text{NiO}:\text{V}_2\text{O}_5=75:25$, прокаленный при 500°C в течение 6 ч, уже не содержит фазы метаванадата никеля (см. табл. 1 и рис. 6), которая еще присутствует в нем после прокаливания в течение 3 ч (табл. 2 и рис. 7). Фазовый состав исследуемых $\text{NiO}:\text{V}_2\text{O}_5$ -образцов с другими соотношениями компонентов после прокаливания при 700°C практически не отличался от фазового состава образцов, прокаленных при 500°C (табл. 1).

Таким образом, процесс формирования фазового состава бинарных $\text{NiO}:\text{V}_2\text{O}_5$ -катализаторов, приготовленных на основе NH_4VO_3 и $\text{Ni}(\text{NO}_3)_2 \cdot 6\text{H}_2\text{O}$, протекает, в зависимости от состава катализаторов, через промежуточное образование структур типа $(\text{NH}_4)_2\text{V}_6\text{O}_{16} \cdot \text{H}_2\text{O}$, $(\text{NH}_4)_2\text{V}_{12}\text{O}_{29}$, $\text{Ni}_3(\text{NO}_3)_2(\text{OH})_4$ и/или $\text{Ni}(\text{NO}_3)_2 \cdot 4\text{H}_2\text{O}$. Фазовый состав $\text{NiO}:\text{V}_2\text{O}_5$ -образцов после термообработки при $T \geq 300^{\circ}\text{C}$ представлен, в основном, кристаллическими фазами ванадатов никеля (II) [$\text{Ni}_2\text{V}_2\text{O}_6$, $\text{Ni}_2\text{V}_2\text{O}_7$ или $\text{Ni}_3\text{V}_2\text{O}_8$] и/или оксидов соответствующих металлов. При этом структура ортованадата никеля, $\text{Ni}_3(\text{VO}_4)_2$ (или $\text{Ni}_3\text{V}_2\text{O}_8$), в случае $\text{NiO}:\text{V}_2\text{O}_5$ -образца с 75 мол.% NiO окончательно формируется лишь после его прокаливания при $T \sim 700^{\circ}\text{C}$, а ее образованию предшествует появление мета- и пирорванадатов никеля (II) (соответственно $\text{Ni}_2\text{V}_2\text{O}_6$ и $\text{Ni}_2\text{V}_2\text{O}_7$).

СПИСОК ЛИТЕРАТУРЫ

1. Vuurman M.A., Stufkens D.J., Oskam A., Deo G., Wachs I.E. Combined Raman and IR Study of $\text{MO}_x:\text{V}_2\text{O}_5/\text{Al}_2\text{O}_3$ ($\text{MO}_x = \text{MoO}_3, \text{WO}_3, \text{NiO}, \text{CoO}$) Catalysts under Dehydrated Conditions // J. Chem. Soc. Faraday Trans. 1996. V. 92. N 17. P. 3259-3265.
2. Karaselçuk R., İnci İslî A., Aksoylu A.E., Önsan Z.I. CO Hydrogenation over Bimetallic Nickel-Vanadium Catalysts // Appl. Catal. A. 2000. V. 192. N 2. P. 263-271.
3. Valentini A., Carreno N.L.V., Probst L.F.D., Lisboa-Filho P.N., Schreiner W.H., Leite E.R., Longo E. Role of Vanadium in $\text{Ni}:\text{Al}_2\text{O}_3$ Catalysts for Carbon Dioxide Reforming of Methane // Appl. Catal. A. 2003. V. 255. N 1-2. P. 211-220.
4. Бяков А.Г., Зубицкий Б.Д., Трясунов Б.Г., Петров И.Я. Поликомпонентный катализатор для переработки фракций бензола // Кокс и химия. 2009. № 5. С. 27-30.
5. Małiński R., Gallus-Oleander J. X-Ray and Thermal Analysis of a Nickel-Vanadium Catalyst for Methanol Oxidation // React. Kinet. Catal. Lett. 1979. V. 11. N 4. P. 377-381.
6. Mamedov E.A., Cortes Corberan V. Oxidative Dehydrogenation of Lower Alkanes on Vanadium Oxide-Based Catalysts. The Present State of the Art and Outlooks // Appl. Catal. A. 1995. V. 127. NN 1-2. P. 1-40.
7. Juarez Lopez R., Godjayeva N.S., Cortes Corberan V., Fierro J.L.G., Mamedov E.A. Oxidative Dehydrogenation of Ethane on Supported Vanadium-Containing Oxides // Appl. Catal. A. 1995. V. 124. N 2. P. 281-296.
8. Zhaorigetu B., Li W., Xu H., Kieffer R. Correlation between the Characteristics and Catalytic Performance of Ni-V-O Catalysts in Oxidative Dehydrogenation of Propane // Catal. Lett. 2004. V. 94. N 1-2. P. 125-129.
9. Золотарев О.В., Петров И.Я., Трясунов Б.Г., Эльберт Э.И. Получение мезитилена и псевдокумола из ароматических C_6 -фракций различного происхождения // Кокс и химия. 1987. № 8. С. 33-35.
10. Petrov I.Y., Zolotaryov O.V., Tryasunov B.G. Dehydrotreatment of Coal-Derived C_6 -Aromatics to Obtain Mesitylene // Prospects for Coal Science in the XXIst Century (Coal Science'99): Proc. 10th Int. Conf. on Coal Sciences, Taiyuan, Shanxi, People's Republic of China, September 12-17, 1999 (B.Q. Li and Z.Y. Liu, Eds.). Taiyuan: Shanxi Science & Technology Press, 1999. V. 2. P. 985-988.
11. А.с. 1398162 СССР (1988). Катализатор для дегидрирования этилтолуолов / О.В. Золотарев, В.Н. Допашак, И.Я. Петров, Б.Г. Трясунов, Э.И. Эльберт (СССР). – № 4072556/31-04; Заявлено 05.05.86 г.; Зарегистрировано в Госреестре СССР 22.01.88 г.
12. Петров И.Я., Золотарев О.В., Бяков А.Г., Трясунов Б.Г. Влияние химического состава и степени восстановления ненанесенных и нанесенных на $\gamma\text{-Al}_2\text{O}_3$ никельванадиевых катализаторов на их активность в ре-

- акции дегидрирования этилбензола // Вестник КузГТУ. 2010. № 3. С. 104-113.
13. Cirilli V., Burdese A., Brisi C. Sulla corrosione dei metallic ad alta temperatura da parte dell'anidride vanadica. Nota 1. Ricerche su sistemi metallo-vanadio-oxigeno // Met. ital. 1956. Т. 48. N 7. P.309-316.
 14. Clark G.M., Pick A.N. DTA Study of the Reactions of V_2O_5 with Metal (II) Oxides // J. Therm. Anal. 1975. V. 7. N 2. P. 289-300.
 15. Кожевников В.Л., Комик М.Л., Чешинецкий С.М., Золотухина Л.В., Сурат Л.Л., Сирена Т.Н., Фомиев А.А. Фазовые соотношения в системе $NiO-V_2O_5$ // Ж. неорган. химии. 1987. Т. 32. № 9. С. 2322-2324.
 16. Слободин Б.В., Тугова Н.П., Арапова И.А. Последовательность фазовых превращений при термическом взаимодействии NiO с V_2O_5 // Ж. неорган. химии. 1979. Т. 24. № 11. С. 2919-2922.
 17. Mička M. Decomposition of Hydrogen Peroxide on Nickel Oxide-Vanadium Pentoxide Catalysts and Effect of Ionizing Radiation on Them // Collect. Czechosl. Chem. Commun. 1984. V. 49. N 1. P. 1-13.
 18. Pospišil M. Study of Reduction Kinetics of Mixed Oxides $NiO-V_2O_5$ with Hydrogen // J. Thermal Anal. 1983 V. 27. N 1. P. 77-88.
 19. ICDD PDF-2 Database, ASTM. Joint Committee on Powder Diffraction Standards. Philadelphia. PA (USA), 1997.
 20. Петров И.Я., Трясунов Б.Г., Комлярова Е.С. Исследование состава и структуры продуктов температурно-программированного разложения метаванадата аммония на воздухе // Вестник КузГТУ, 2002. № 3. С. 57-66.
 21. Петров И.Я., Трясунов Б.Г., Бяков А.Г. Термическое разложение гексагидрата нитрата никеля (II) на воздухе // Вестник КузГТУ, 2011. № 6. С.87-95.
 22. Некрасов Б.В. Основы общей химии. М.: Химия, 1973. Т. 1. 656 с.
 23. Heyns A.M., Venter M.W., Range K.-J. The Vibrational Spectra of NH_4VO_3 at Elevated Temperatures and Pressures // Z. Naturforsch. 1988. V. B42. N 7. P. 843-852.
 24. De Waal D., Heyns A.M., Range K.-J., Eglmeier C. Infrared Spectra of the Ammonium Ion in Ammonium Metavanadate NH_4VO_3 // Spectrochim. Acta. 1990. V. 46A. N 11. P. 1639-1648.
 25. Накамото К. ИК спектры и спектры КР неорганических и координационных соединений. М.: Мир, 1991. 536 с.
 26. Taylor T.J., Dollimore D., Gamlen G.A., Barnes A.J., Stuckey M.A. Degradation Studies on Nickel Nitrate Hexahydrate. Part 3. Raman and Infrared Analysis // Thermochem. Acta. 1986. V. 101. P. 291-304.
 27. Maneva M., Petroff N., Pankova M. On the Thermal Decomposition of $[Ni(H_2O)_6](NO_3)_2$ and Its Deuterated Analogue // J. Therm. Anal. 1990. V. 36. N 2. P. 577-587.
 28. Кристаллов Л.В., Корякова О.В., Перелезева Л.А., Цветкова М.П. Анализ колебательных спектров MV_3O_8 , где $M = K, Rb, Cs, NH_4$ // Ж. неорган. химии. 1987. Т. 32. № 8. С. 1811-1816.
 29. Strydom C.A., De Waal D. The Thermal Decomposition of $(NH_4)[VO(O_2)(NH_3)]$ // J. Therm. Anal. 1990. V. 38. N 4. P. 943-951.
 30. Фомиев А.А., Рустамов А.Г., Мамбетов А.А. Синтез гексаванадата аммония и его термические свойства // Ж. неорган. химии. 1971. Т. 16. № 11. С. 3021-3025.
 31. De Waal D., Heyns A.M., Range K.-J., Eglmeier C. Infrared Spectra of the Ammonium Ion in Ammonium Hexavanadate $(NH_4)_2V_6O_{16}$ // Spectrochim. Acta. 1990. V. 46A. N 11. P. 1649-1657.
 32. Beattie I.R., Gilson T.R. Oxide Phonon Spectra // J. Chem. Soc. A. 1969. N 16. P. 2322-2327.
 33. Абдуллаев А.А., Беляев Л.М., Васильев А.Б., Добржанский Г.Ф. Колебательные спектры кристаллов пятиокиси ванадия // Физ. методы исслед. неорган. материалов. М. 1981. С. 188-195.
 34. Манухин А.В., Плаксин О.А., Степанов В.А. Колебательные спектры и химическая связь в V_2O_5 // Изв. АН СССР. Сер. Неорган. материалы. 1988. Т. 24. № 2. С. 251-254.
 35. Юрченко Э.Н., Кустова Г.Н., Бацанов С.С. Колебательные спектры неорганических соединений. Новосибирск: Наука.1981. 143 с.
 36. Фомиев А.А., Трунов В.К., Журавлев В.Д. Ванадаты двухвалентных металлов. М.: Наука, 1985. 166 с.
 37. Haber J., Witko M., Tokarz R. Vanadium Pentoxide. I. Structures and Properties // Appl. Catal. A. 1997. V. 157. NN 1-2. P. 3-22.
 38. Фомиев А.А., Волков В.Л., Капусткин В.К. Оксидные ванадиевые бронзы. М.: Наука, 1978. 176 с.

Авторы статьи:

Петров	Трясунов	Бяков	Золотарев
Иван Яковлевич, канд.хим.наук, научный сотр. лабор. наноструктурирован- ных углеродных материалов Института углехимии и хими- ческого материаловедения СО РАН. E-mail: ipetrov@kemcity.ru	Борис Григорьевич, докт. хим.наук, проф. каф. химической техноло- гии твердого топлива и экологии КузГТУ. Тел. 8-903-047-00-16	Алексей Геннадьевич, канд. хим. наук, старший препод. каф. химической технологии твердого топли- ва и экологии КузГТУ. Тел. 8-906-98-09-43	Олег Владимирович, предприниматель Тел. 8-903-07-00-338